

The Role of Reaction Parameter on Leaching of SiO₂ Doped Nafion Membrane for Use in High Temperature PEM Fuel Cells

M. Amjadi¹, S. Rowshanzamir^{1,2*}, and M.H. Eikani³

1. Department of Chemical Engineering, 2. Green Research Center; Iran University of Science and Technology, P.O. Box: 16846-13114, Tehran, Iran
3. Department of Chemical Industries, Institute of Advanced Technology, Iranian Research Organization for Science and Technology (IROST), P.O. Box: 15819-3538, Tehran, Iran

Received 7 November 2009, accepted 29 June 2010

ABSTRACT

The Nafion 117 membrane was doped with SiO₂ particles by sol-gel reaction. The reaction conditions to minimize leaching were investigated by using full factorial design of experiment. The results from the full factorial analysis indicated that the lowest amount of leaching takes place at 60°C without addition of acid and swelling of membranes prior to the reaction. The membranes, prepared at optimum reaction conditions, were characterized using differential scanning calorimetry (DSC), and for water uptake, ion exchange capacity, and cell performance. The water uptake of Nafion/SiO₂ membrane with 7% of doping level increased up to 44% that is 26% higher than that of the pure Nafion membrane. The same trend was obtained for proton exchange capacity. DSC Measurements for modified samples showed an increase in T_g as compared to unmodified sample. Fuel cell test was carried out at 70°C and 110°C. At 110°C the modified membrane with 7 wt% of SiO₂ showed improved fuel cell performance compared to the pure Nafion. For instance, at 200 mA/cm² the voltage gained by composite membrane was twice higher than that of the pure Nafion.

Key Words:

sol-gel,
water uptake,
high temperature PEM
fuel cell,
SiO₂ doped Nafion
membrane, leaching

(*)To whom correspondence should be addressed.

E-mail: rowshanzamir@iust.ac.ir

مطالعه اثر عوامل واکنش بر شسته شدن ذرات SiO_2 دوپه شده از غشای پلیمری نفیان برای کاربرد در پیل های سوختی PEM دما بالا

مجله علوم و تکنولوژی پلیمر،
سال بیست و سوم، شماره ۲،
صفحه ۱۳۸۹، ۱۱۱-۱۲۰
ISSN : 1016-3255

مهدى امجدى^۱، سوسن روشن ضمير^{۱، ۲*}، محمد حسن ایکانی^۳

۱- تهران، دانشگاه علم و صنعت ایران، دانشکده مهندسی شیمی، صندوق پستی ۱۳۱۱۴-۱۶۸۴۶

۲- تهران، دانشگاه علم و صنعت ایران، پژوهشکده سبز، آزمایشگاه پیل سوختی، صندوق پستی ۱۳۱۱۴-۱۶۸۴۶

۳- تهران، سازمان پژوهش های علمی و صنعتی ایران، پژوهشگاه فناوری های نوین، پژوهشکده صنایع شیمیابی،
صندوق پستی ۱۵۸۱۹-۳۵۳۸

دریافت: ۸/۸/۱۶، پذیرش: ۸/۹/۸

چکیده

در این پژوهش، غشای نفیان ۱۱۷ با ذرات SiO_2 به وسیله روش سل - ژل دوپه شده است. از آن جا که پدیده حل شدن ذرات دوپه شده اهمیت زیادی در کاربردهای پیل سوختی پلیمری دارد، بنابراین، شرایط واکنش برای ایجاد ذرات پایدارتر در زمینه غشا از راه طراحی آزمایش عاملی کامل بهینه شده است. نتایج طراحی آزمایش نشان می دهد، شرایط بهینه واکنش که در آن شسته شدن ذرات دوپه شده کمترین مقدار است، دمای 60°C ، بدون اضافه کردن اسید و همراه با متورمسازی است. پس از به دست آمدن شرایط مطلوب واکنش، سایر غشاهای در آن شرایط تهیه و از نظر جذب آب و ظرفیت تبادل پروتونی مقایسه شدند. افزون بر آن، دمای انتقال شیشه ای نمونه های به وسیله تجزیه DSC اندازه گیری شده و در نهایت به منظور بررسی عملکرد، غشاهای در مجموعه آزمایشگاهی پیل سوختی پلیمری ارزیابی شدند. مقدار جذب آب نمونه های کامپوزیتی در درصد های کم مقدار دوپه شده، بیشتر از مقدار آن برای نفیان اصلاح نشده بود. مقدار جذب آب در درصد بهینه دوپه شدن ذرات SiO_2 (۷ درصد وزنی) برابر 44°C درصد به دست آمد که 26°C درصد بیشتر از مقدار آن برای نفیان اصلاح نشده است. ظرفیت تبادل پروتونی غشاهای نیز با افزودن SiO_2 افزایش پیدا کرده است. نتایج اندازه گیری دمای انتقال شیشه ای نشان می دهد، وارد کردن ذرات معدنی به زمینه غشا، پایداری گرمایی آن را برای کارکرد در دماهای بالا افزایش می دهد. نتایج بررسی کارایی غشاهای در مجموعه پیل سوختی پلیمری در دو دمای 70°C و 110°C نشان می دهد، افزودن ذرات SiO_2 برای کارکرد در دماهای بالاتر بسیار مفید بوده است. به طوری که در دمای 110°C قطبش غشای کامپوزیتی با ۷ درصد وزنی همواره بالاتر از نفیان قرار داشته و به طور نمونه در چگالی جریان 200 mA/cm^2 بهبود کارایی دو برابر در ولتاژ پیل مشاهده می شود.

واژه های کلیدی

سل - ژل،

جذب آب،

پیل سوختی PEM دما بالا،

غشای نفیان دوپه شده با SiO_2

شسته شدن

* مسئول مکاتبات، پیام نگار:

rowshanzamir@iust.ac.ir

مقدمه

و همکاران مطرح شد [۹]. بدین منظور، آنها نفیان را با ناجورپلی اسیدهایی نظری اسید فسفوتگستیک (PTA) دوپه کرده و نتایج رضایت‌بخشی در دماهای بالا (120°C) و رطوبت کم به دست آورده‌اند. ولی به دلیل محلول بودن اغلب ناجورپلی اسیدهای در آب، اسید با گذشت زمان در آب حل شده و باعث کاهش کارایی پلی می‌شود. افزون بر ناجورپلی اسیدها، غشای نفیان را می‌توان با مواد آب دوست دیگری نظری ZrO_2 , TiO_2 , SiO_2 دوپه کرد. برخی از این مواد افزون بر بهبود جذب آب نفیان، با دارابودن قابلیت رسانش پروتون باعث بهبود رسانش یونی غشا نیز می‌شوند [۱۰-۱۲]. ساخت و اصلاح غشاهای نفیان با ذرات آب دوست با روش‌های سل - ژل و قالب‌ریزی انجام می‌گیرد.

در روش قالب‌ریزی، ذرات جامد اکسیدهای فلزی مانند SiO_2 در محلول یونومری نفیان پخش شده و سپس این محلول روی شیشه قالب‌ریزی می‌شود. در این روش، به دلیل تجمع ذرات و به هم چسبیدگی آنها در شبکه پلیمری غشا، امکان دسترسی به ساختارهای یکنواخت مشکل به نظر می‌رسد. در روش سل - ژل ذرات آب دوست در داخل غشا تولید می‌شوند. در واقع، غشا به عنوان زمینه‌ای برای رشد این ذرات عمل می‌کند. در این روش، غشای نفیان برای به دست آوردن ذرات SiO_2 ، در آکوکسیدهای فلزی نظری ترا اتیل ارتوسیلیکات (TEOS) غوطه‌ور می‌شود و با انجام واکنش‌های آب کافت و چگالش، ذرات SiO_2 در داخل غشا تولید می‌شوند. با توجه به محل انجام واکنش و تولید این ذرات که در فضای بین خوش‌های اسیدی نفیان انجام می‌گیرد، امکان ایجاد ذرات با اندازه نانو میسر می‌شود. بنابراین، روش سل - ژل از این لحاظ به روش قالب‌ریزی ارجحیت دارد [۱۳]. در کاربردهای پلی سوختی، به دلیل این که غشا در شرایط مرطوب و دماهای بالا قرار دارد، پایداری ذرات دوپه شده در غشا از اهمیت بسزایی برخوردار است. در این میان، روش تهیه غشا و شرایط واکنش می‌تواند در به حداقل رساندن مقدار حل شدن ذرات دوپه شده غشا مؤثر واقع شود.

در این پژوهش، غشای کامپوزیتی نفیان - SiO_2 با استفاده از روش سل - ژل با درصدهای مختلف دوپه شدن تهیه شده است. برای کاربرد غشاهای اصلاح شده در پلی سوختی، بحث پایداری ذرات و عدم شسته شدن و حل شدن آنها در شرایط واقعی کارکرد از اهمیت زیادی برخوردار است. اغلب پژوهش‌گران این مرحله از آزمایش‌ها را در گزارش‌های خود عنوان نکرده‌اند. در این پژوهش، اثر پارامترهای واکنش سل - ژل در ایجاد ذرات پایدارتر در غشا با استفاده از روش طراحی آزمایش عاملی کامل (full factorial) بررسی شده است. از

امروزه پلی‌های سوختی پلیمری به دلیل مزایایی که دارند، به عنوان جای گزین موتورهای احتراق داخلی در وسایل نقلیه و هم‌چنین برای تولید انرژی الکتریکی در تجهیزات سیار مانند گوشی‌های تلفن همراه و رایانه‌های قابل حمل مطرح هستند [۱۰-۱۲]. از جمله این مزایا می‌توان به چگالی توان زیاد، خوردگی کم و عدم نشت مواد به دلیل جامد بودن الکتروولیت اشاره کرد [۱۳-۱۴]. در پلی‌های سوختی با غشای تبادل گر پروتون (proton exchange membrane, PEM) از غشای پلیمری به عنوان الکتروولیت تبادل پروتون استفاده می‌شود که وظیفه آن رسانش پروتون‌های تولیدی در کاتد به سمت آند و تکمیل واکنش الکتروشیمیایی برای تولید الکتریسیته است.

در پلی‌های سوختی پلیمری عموماً از غشای نفیان استفاده می‌شود. از جمله مزایای نفیان می‌توان به استحکام مکانیکی زیاد، پایداری شیمیایی و گرمایی مناسب و رسانش پروتونی زیاد آن اشاره کرد. با وجود این مزایا، نفیان برای کاربرد در پلی‌های سوختی پلیمری با چالش‌هایی روبروست. زیرا، رسانش نفیان به شدت وابسته به رطوبت است و در رطوبت‌های کم، مقدار رسانش پروتونی آن به شدت افت پیدا می‌کند. افزون بر این، غشای نفیان در دماهای بالا استحکام مکانیکی خود را از دست می‌دهد و به دلیل نرم شدگی قابلیت تحمل تنش‌های وارد شده از طرف سخت افزار پلی رانخواهد داشت [۱۵]. از این‌رو، دمای کاربرد پلی سوختی پلیمری محدود به 80°C می‌شود.

اخيراً کارکرد پلی‌های سوختی پلیمری در دماهای بالا (100°C) به دلیل مزایایی که نسبت به کارکرد پلی‌های پلیمری در دماهای پایین دارد، مورد توجه قرار گرفته است. از جمله این مزایا می‌توان به بهبود سینتیک واکنش، حذف سامانه‌های مرتبط سازی گازهای وروودی، کاهش پیچیدگی‌های مدیریت آب و سامانه خنک‌کننده و امکان استفاده از هیدروژن با درصد خلوص کم اشاره کرد [۶-۸]. عملده‌ترین چالش پیش‌روی پلی‌های پلیمری دما بالا مسئله پایداری و عملکرد مطلوب غشا در دماهای بالاست. بنابراین، پژوهش‌های گسترش‌هایی برای توسعه غشاهای با قابلیت عملکرد در دمای بالای عملیاتی در حال انجام است. این پژوهش‌ها را می‌توان به دو گروه کلی دسته‌بندی کرد:

- اصلاح غشاهای متداول با استفاده از وارد کردن مواد مختلف در ساختار پلیمری آنها به منظور افزایش پایداری و جذب آب در دماهای بالا

- تهیه و سنتز غشاهای جدید با مواد پایدار در دماهای بالا نخستین بار، افزایش مواد آب دوست به غشای نفیان توسط Mauritz

و متنالو با نسبت حجمی ۳ به ۲ به دست می‌آید، قرار داده شدند. زمان‌های مختلف واکنش باعث ایجاد درصدهای مختلف از دوبه شدن ذرات می‌شود. به منظور دست‌یابی به شرایط بهینه واکنش که منجر به ایجاد ذرات پایدارتر در غشا می‌شود، سه عامل واکنش یعنی دما، pH و استفاده از متنالو برای متورم‌سازی، هر کدام در دو سطح با استفاده از طراحی آزمایش عاملی کامل، بررسی شده‌اند. بنابراین، تعداد کل آزمایش‌ها، که در این حالت تعداد نمونه‌های تولید شده است، برابر ۸ حالت مختلف است. در **جدول ۱** سطوح عوامل و شرایط آزمایش‌ها مشخص شده است. برای عامل دما دو سطح دمای ۶۰°C (معرف حالت ۱) و دمای محیط (معرف حالت ۲) در نظر گرفته شده است. برای عامل pH، دو حالت واکنش با اضافه کردن اسید (معرف حالت ۱) و pH=۷/۳ (معرف حالت ۲) بدون افزودن اسید (معرف حالت ۲) به محیط واکنش بررسی شده است. استفاده یا عدم استفاده از متنالو برای متورم‌سازی پیش از واکنش، دو سطح مربوط به عامل حلal است که به ترتیب بیان گر حالت‌های ۱ و ۲ است. زمان انجام واکنش برای تمام نمونه‌ها در طراحی آزمایش، یکسان در نظر گرفته شده است. پس از انجام واکنش به منظور تکمیل و سپس اختتام واکنش‌های چگالش، نمونه‌ها به وسیله گرم خانه خلاء خشک و اختلاف وزنی آنها با مرحله خشک کردن پیشین به عنوان درصد وزنی اسید گزارش شده است. در مرحله عمل آوری نهایی، به منظور فعال‌سازی گروه‌های H-SO₃- در نواحی خوش‌ای غشا و بررسی مقدار شسته شدن ذرات دوبه شده، نمونه‌ها در محلول ۵٪ مولار سولفوریک اسید به مدت ۱ h جوشانده شده و سپس به منظور حذف اسید اضافی به مدت ۱ h دیگر در آب جوشانده شدند. برای تعیین مقدار شسته شدن ذرات، از اختلاف وزنی آنها در مرحله پیش و پس از عمل آوری نهایی استفاده شده است.

برای تعیین مقدار جذب آب غشاها، از اختلاف وزنی آنها در شرایط

جدول ۱ - مشخصات شرایط آزمایش‌ها بر اساس طراحی عاملی کامل.

حالت	pH	دما	کد آزمایش
۱	۱	۱	A1
۲	۱	۱	A2
۱	۲	۱	A3
۲	۲	۱	A4
۱	۱	۲	A5
۲	۱	۲	A6
۱	۲	۲	A7
۲	۲	۲	A8

این رو، طرح دارای اصالت و نوآوری بارز و مشخصی است. هم‌چنین کارایی غشاها از نظر مقدار جذب آب، ظرفیت تبادل یونی (IEC) و دمای انتقال شیشه‌ای بررسی و مقایسه شده است. در نهایت با ساخت مجموعه الکترود و غشا با استفاده از نمونه‌های غشا ساخته شده و به کارگیری آنها در پیل سوختی پلیمری، اثر افزودن SiO₂ به غشا روی منحنی ولتاژ - جریان، ارزیابی شده است.

تجربی

مواد

غشا استفاده شده در تهیه کامپوزیت‌ها، نفیان ۱۱۷ بوده که از شرکت Electrochem خریداری شده است. آلکوکسید فلزی تتراتیل ارتوسیلیکات (TEOS) محصول شرکت Merck (۹۹/۵٪) برای انجام عمل دوبه شدن غشا و سولفوریک اسید با خلوص ۹۸ درصد، نیتریک اسید با خلوص ۶۵ درصد و هیدروژن پروکسید ۳۳ درصد وزنی محصول شرکت Merck برای آماده‌سازی غشاها استفاده شده‌اند. هم‌چنین، کلیه حلال‌های مصرفي دارای خلوص آزمایشگاهی است و در کلیه مرافق از آب یون زدوده دو بار تقطیر شده است. در تهیه مجموعه الکترود - غشا برای تعیین کارایی غشاها ساخته شده در پیل سوختی پلیمری از ورقه کربنی, Teflon treated, EC-TP1-060T) محلول یونومری ۵ درصد وزنی نفیان (EC-NS-05) محصول Electrochem و کاتالیزور پلاتین روی کربن ساخت شرکت Ruth (Pt/C, ۲۰٪) استفاده شده است.

دستگاه‌ها و روش‌ها

تعیین مشخصات غشاها

نمونه‌های غشا بر اندازه‌های ۲/۵ cm × ۲/۵ cm بربدیده شدند. به منظور خالص‌سازی و حذف هر نوع ناخالصی‌های آلی و معدنی در غشا، نمونه‌ها در محلول ۳ درصد وزنی هیدروژن پروکسید جوشانده و سپس از محلول برداشته شدند. در مرحله بعد، غشاها ابتدا در محلول ۵۰ درصد حجمی سولفوریک اسید گرما داده شدند. سپس، نمونه‌ها به مدت ۱۲ h در گرم خانه خلاء در دمای ۹۰°C گرما داده شدند. این مرحله به منظور تعیین درصد وزنی اسیدهای فلزی دوبه شده در غشا با استفاده از مقایسه آنها با مرحله پیش از واکنش انجام می‌شود. در ادامه برای دوبه کردن ذرات در غشا، نمونه‌ها در محلول پیش ماده که از ترکیب TEOS

نتایج کارکرد آن در پیل سوختی پلیمری با نمونه ساخته شده با نفیان خالص مقایسه شده است. بدین منظور، ابتدا نمونه غشا در محلول های مختلف عمل آوری می شود تا آلودگی های آلی و معدنی آنها از بین برود [۱۴]. سپس، غشا بین دو الکترود آند و کاتد با استفاده از روش پرس گرم در معرض فشار و گرماقرار می گیرد. مقدار بارگیری کاتالیزور پلاتین در هر دو الکترود برابر 4 mg/cm^2 است که با استفاده از روش امولسیون تفلون ساخته و به وسیله افسانه روی کاغذ کربنی لایه نشانی می شود. جزئیات روش ساخت مجموعه الکترود - غشا در پژوهش پیشین نویسندهای این مقاله بیان شده است [۱۵]. برای تعیین کارایی الکترود - غشا های ساخته شده، از سخت افزار پیل سوختی پلیمری (FC05-01SP) محصول شرکت ElectroChem با سطح الکترودهای 5 cm^2 استفاده شده است که به شکل جریان مارپیچی همراه با گرم کن الکتریکی در دو طرف، دارای صفحات مسی آب کاری شده با طلاست. نمودار کلی فرایند در شکل ۱ ارائه شده است. در این فرایند از گازهای هیدروژن در آند و اکسیژن در کاتد به عنوان سوخت و اکسیده در مخزن های فشرده استفاده می شود. با استفاده از چهار عدد شیر سوزنی سرعت حجمی گازها طوری تنظیم می شوند که مقادیر زیاد آنها باعث شکستگی لوله های روتامتر نشود. اما، تنظیم دقیق سرعت حجمی به کمک دو کنترل کننده جریان جرمی (AALBORG, GFC 171) انجام می گیرد. مرطوب سازی گازهای ورودی از راه عبور آنها از مخزن آب یون زدوده انجام می شود. گازهای واکنش گر در حین عبور از لوله های مارپیچی فلزی درون گرم کن ها، گرم می شوند. دمای پیل سوختی به وسیله کنترل کننده رقمی کنترل می شود. به منظور اندازه گیری جریان تولیدی پیل و ارزیابی رفتار ولتاژ جریان غشا، از مولتی متر استفاده می شود. برای ایجاد بار در مسیر جریان از یک رئوستا استفاده شده که به شکل متوالی با پیل بسته شده است. با رسم منحنی ولتاژ بر حسب چگالی جریان کارایی غشا ارزیابی می شود.

نتایج و بحث

بورسی شرایط بهینه واکنش

به منظور بررسی مقدار ماندگاری و استحکام پیوند بین شبکه پلیمری و اکسید فلز، بررسی های شسته شدن برای نمونه ها انجام گرفته است. پس از عمل آوری نهایی نمونه ها درصد عمده ای از اکسید فلز دوپه شده، در محلول حل می شود. بسیاری از پژوهش گران عمل آوری نهایی غشا ها را در مطالعات خود مطرح نکرده یا اساساً این مرحله را انجام نداده اند. ولی

خشک و شرایط آب دارشدن کامل استفاده می شود. بدین منظور، ابتدا نمونه ها به مدت ۱ h در آب جوشانده شده و پس از حذف آب سطحی آنها به وسیله کاغذ صافی، نمونه ها وزن می شوند. سپس، برای به دست آوردن وزن خشک غشا ها، نمونه ها در دمای 100°C به مدت ۴۸ h در گرم خانه گرماده می شوند. درصد جذب آب نمونه ها از معادله (۱) به دست می آید:

$$(1) \quad \frac{W_{\text{wet}} - W_{\text{dry}}}{W_{\text{dry}}} \times 100 = \text{مقدار جذب آب غشا}$$

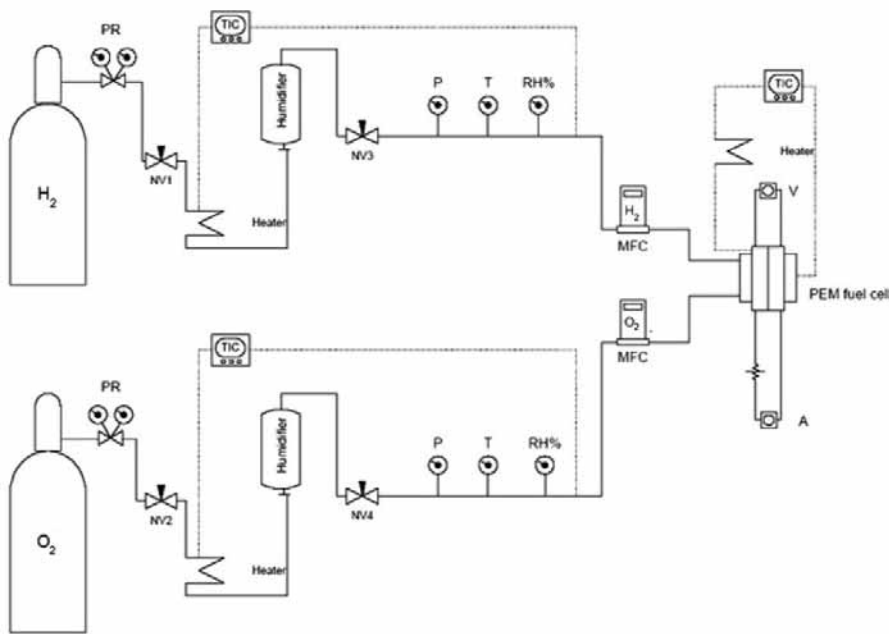
که W_{wet} وزن نمونه غشا پس از آب دار شدن و W_{dry} وزن همان نمونه پس از مرحله خشک کردن است. ظرفیت تبادل یونی (IEC) یک غشا تعیین کننده تعداد میلی اکی والان های یون هادر 1 g غشا خشک است. این پارامتر به وسیله روش تیتر کردن اندازه گیری می شود. بدین ترتیب که ابتدا نمونه های غشا در محلول 1 Molar از NaCl به مدت ۱۲ h در دمای 80°C غوطه ور می شوند. این امر به منظور جای گزینی یون های Na^+ به جای یون های H^+ در غشاست. سپس، غشاها از ظرف خارج شده و محلول باقی مانده به وسیله محلول 1 Molar تارسیدن به نقطه خنثی شدن تیتر می شود. به منظور اطمینان از نتایج اندازه گیری، عمل تیتر کردن سه مرتبه تکرار می شود. اختلاف در داده ها کمتر از ۵ درصد مشاهده شده است. وزن خشک غشا و مقدار NaOH مصرفی برای محاسبه مقدار IEC به کار می رود. برای محاسبه مقدار IEC از معادله (۲) استفاده می شود:

$$(2) \quad \text{IEC} = \frac{MV_{\text{NaOH}}}{W_{\text{dry}}}$$

دمای انتقال شیشه ای نمونه های غشا از روش گرماسنجی پویشی تفاضلی (DSC)، با دستگاه Netzscht Maia-200 F3 مدل DSC-Maia-200 F3 ASTM D3418-08 شده است. آزمون ها طبق روش استاندارد $20^\circ\text{C}/\text{min}$ انجام شده اند. سرعت گرمادهی $50^\circ\text{C}/\text{min}$ است. اندازه گیری در محیط نیتروژن انجام و سرعت حجمی نیتروژن 50 mL/min در نظر گرفته شده است. پیش از انجام آزمایش کلیه نمونه ها در دمای 80°C به مدت ۵ h ساعت خشک شده اند.

ساخت مجموعه الکترود - غشا و آزمون پیل

به منظور بررسی اثر افروختن ذرات سیلیکا به غشا نفیان بر بهبود کارایی پیل سوختی پلیمری، نمونه مجموعه الکترود - غشا با استفاده از غشا کامپوزیتی نفیان - SiO_2 با مقدار شدن ۷ درصد وزنی ساخته شده و



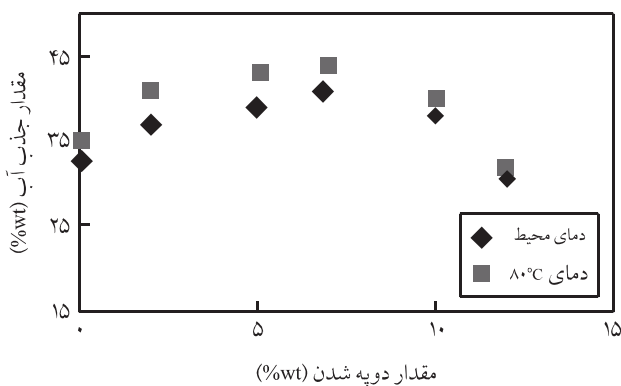
شکل ۱ - نمودار جریان مجموعه آزمایشگاهی پیل سوختی.

شده و از این رو می‌تواند در زیاد شدن مقدار بارگیری پیش از عمل آوری مؤثر باشد. ولی، محیط اسیدی با افزایش سرعت واکنش باعث می‌شود که واکنش آب کافت و تولید ذرات در محلهای خارج از خوشه‌های نفیان انجام گیرد. در این حالت، به راحتی در مرحله عمل آوری نهایی شسته می‌شوند. پس از تعیین شرایط بهینه واکنش با استفاده از طراحی شسته برای حداقل کردن مقدار شسته شدن ذرات معین شده است. در آزمایش، به منظور بررسی آثار افزودن ذرات SiO_2 به غشای نفیان، نمونه‌های غشایی با درصدهای مختلف مقدار باقی مانده ذرات SiO_2

جدول ۲ - اثر شرایط واکنش بر مقدار باقی مانده ذرات SiO_2 .

SiO_2 پس از عمل آوری نهایی (%)	باقی مانده SiO_2 پس از عمل آوری نهایی (%)	مقدار دوپه شده SiO_2 پس از عمل آوری نهایی (%)	مقدار دوپه شده SiO_2 پیش از عمل آوری نهایی (%)	کد آزمایش
۷۴	۷/۹	۱۰/۷	A1	
۶۵	۵/۹	۹/۱	A2	
۹۱	۸/۰	۸/۸	A3	
۶۹	۵/۹	۸/۵	A4	
۶۳	۵/۷	۹/۰	A5	
۵۹	۵/۱	۸/۶	A6	
۶۷	۵/۸	۸/۷	A7	
۶۳	۵/۴	۸/۵	A8	

از آن جا که در کاربردهای واقعی پیل سوختی، غشا همواره در معرض آب قرار دارد، از این رو پایداری ذرات دوپه شده از اهمیت بسزایی برخوردار است. بنابراین، در انجام واکنش‌های آب کافت و چگالش آثار عوامل مؤثر بر واکنش با استفاده از طراحی آزمایش بررسی و شرایط واکنش برای حداقل کردن مقدار شسته شدن ذرات معین شده است. در جدول ۲، نتیجه اثر شرایط آب کافت بر مقدار باقی مانده ذرات SiO_2 گزارش شده است. برای تعیین مقدار حل شدن اکسید فلز، غشاها پس از مرحله عمل آوری نهایی، یک بار دیگر در گرم خانه خلاء قرار داده می‌شوند تا با مقایسه اختلاف وزنی غشاها در صد دوپه شدن نهایی و مقدار حل شدن ذرات معدنی محاسبه شود. بر اساس داده‌های جدول ۲ شرایط بهینه واکنش برای آب کافت که در آن شسته شدن ذرات دوپه شده کمترین مقدار است، دمای 60°C بدون افزودن اسید و همراه با متورم‌سازی به دست می‌آید که مربوط به آزمایش A3 است. تمام نمونه‌ها برای تعیین مشخصات با شرایط واکنش آزمایش A3 تهیه شده‌اند. با قرارگیری ذرات معدنی در فضاهای بین خوشه‌های اسیدی نفیان، امکان شسته شدن آنها بسیار کاهش می‌یابد. از آن جا که مтанول حلal خوبی برای غشاست، غوطه‌ور کردن غشاها در مtanول با افزایش تورم غشاها باعث دستررسی راحت‌تر محلول پیش‌ماده به محلهای انجام واکنش می‌شود. از طرفی، انجام واکنش در دمای بالا (60°C) به منظور ایجاد پیوند قوی بین ذرات معدنی و شبکه پلیمری، موثرتر از واکنش در دمای محیط است. محیط اسیدی باعث انجام سریع واکنش

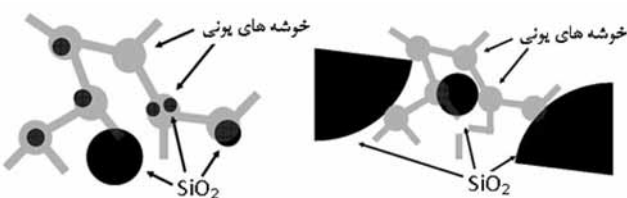


شکل ۲- روند تغییرات جذب آب غشاهاي ساخته شده با درصد دوپه شدن مختلف ذرات SiO_2 .

نمونه‌ها نسبت به نفیان اصلاح نشده می‌شود. نتایج مطالعات برخی پژوهش‌گران مؤید بهبود جذب آب با ورود ذرات آب دوست است [۱۸]. Tang و همکاران روند صعودی درصد جذب آب با مقدار درصد دوپه SiO_2 را در درصدهای کم دوپه شدن گزارش کرده‌اند [۱۹]. با توجه به خاصیت آب دوستی ذرات معدنی اسیدی SiO_2 دوپه کردن غشا با این ذرات باعث افزایش خاصیت آب دوستی غشاپلیمری و جذب بیشتر آب در آن می‌شود.

همان طور که در شکل ۳ نشان داده شده است، در درصدهای دوپه شدن زیادتر از مقدار آن برای بیشینه جذب آب، اندازه ذرات دوپه شده در غشاپلیمری افزایش یافته و این امکان وجود دارد که اکسیدهای فلزی با پوشش مواضع اسیدی ($\text{SO}_3\text{-H}^+$) خواهه‌های یونی باعث کاهش در جذب آب شوند. افزون بر این با تجمع ذرات، سطح ویژه مؤثر آنها برای جذب آب کاهش می‌یابد و بنابراین افزایش بیشتر درصد دوپه شدن اثر مثبتی بر افزایش جذب آب نخواهد داشت.

ظرفیت تبادل یونی (IEC) یک غشا تعیین‌کننده تعداد میلی‌اکی‌والان‌های یون‌ها در ۱ گرم از غشاپلیمری خشک است و بر حسب



شکل ۳- تصویر خواهه‌های یونی به همراه ذرات معدنی در اندازه‌های مختلف: (الف) ذرات بزرگ که خواهه‌ها را پوشانده است و (ب) ذرات کوچک و داخل خواهه‌ها.

واکنش ساخته شدن و کارایی آنها از نظر مقدار جذب آب، ظرفیت تبادل پروتونی، دمای انتقال شیشه‌ای و کاربرد در پلی‌بررسی شده است. مشخصات نمونه‌های نهایی ساخته شده در جدول ۳ آورده شده است.

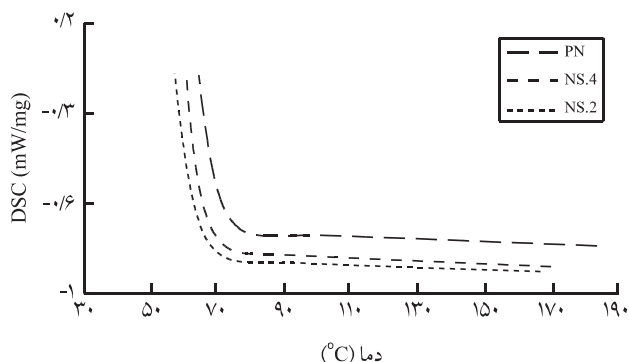
جدول آب و ظرفیت تبادل یونی

مقدار رطوبت غشا و ظرفیت پروتونی آن ارتباط نزدیکی با رسانش پروتونی و استحکام مکانیکی آن دارد. آب با اثری که روی ریزاساختار غشا دارد، باعث ایجاد خواهه‌های یونی و تغییر اندازه کانال‌های مسیر رسانش پروتون می‌شود. از سوی دیگر، با افزایش مقدار ظرفیت پروتونی که در حقیقت معیاری از غلظت پروتون در غشاست، مقدار جذب آب نیز افزایش می‌یابد [۱۶]. غلظت پروتون در غشا تا حدی می‌تواند افزایش یابد، به نحوی که این افزایش باعث ضعف در استحکام مکانیکی غشا نشود. چرا که پروتون با غلظت زیاد در غشا به عنوان نرم کننده عمل می‌کند و از استحکام مکانیکی آن می‌کاهد [۱۷]. نمودار شکل ۲ مقدار جذب آب برای غشاپلیمری اصلاح نشده نفیان و غشاهاي دوپه شده با ذرات SiO_2 با درصدهای وزنی مختلف را در دو شرایط مرطوب‌سازی مختلف نشان می‌دهد. همان‌طور که از نمودار مشخص است، مقدار جذب آب برای نمونه‌های اصلاح شده دارای یک بیشینه مشخص است. این روند برای هر دو حالت شرایط مرطوب‌سازی اتفاق می‌افتد، با این تفاوت که در حالت مرطوب‌سازی در دمای بالا، مقدار تورم غشا نیز بیشتر می‌شود. چرا که در دمای بالا شبکه پلیمری نفیان بیشتر متورم می‌شود و قابلیت جذب آب بیشتری دارد. مقدار جذب آب تا مقادیر ۶-۸ درصد وزنی ذرات فلزی دارای روند صعودی است و سپس سیر نزولی پیدا می‌کند.

به هر حال، اطلاعات نمودارها بیان گر آن است که ورود ذرات آب دوست به شبکه پلیمری نفیان باعث افزایش مقدار جذب آب

جدول ۳- مشخصات نمونه‌های غشاپلیمری ساخته شده.

کد نمونه	زمان واکنش (min)	مقدار دوپه شدن (%wt)	مشخصات ظاهری
PN	-	-	بی‌رنگ، کاملاً انعطاف‌پذیر
NS.1	۱۵	۲	بی‌رنگ، انعطاف‌پذیر
NS.2	۲۰	۵	زرد، انعطاف‌پذیر
NS.3	۳۰	۷	زرد، انعطاف‌پذیر
NS.4	۶۰	۱۰	قهوه‌ای، شکننده
NS.5	۱۲۰	۱۲	قهوه‌ای، کاملاً شکننده



شکل ۵- منحنی های DSC برای نمونه های غشای نفیان اصلاح نشده (PN)، غشای کامپوزیتی نفیان - SiO₂ با ۵ درصد وزنی (NS.2) و غشای کامپوزیتی نفیان - SiO₂ با ۱۰ درصد وزنی (NS.4).

نیازی به بررسی روند تغییر شیب نمودارها نیست. در جدول ۴ مقدار دمای انتقال شیشه ای برای نمونه های مورد نظر گزارش شده است. این اعداد از روی اطلاعات نمودارهای DSC که برای هر نمونه به وسیله نرم افزار دستگاه محاسبه شده، به دست آمده است. برای نفیان اصلاح نشده دمای انتقال شیشه ای ۹۷°C به دست آمده است. افزودن SiO₂ باعث افزایش دمای انتقال شیشه ای شدن نسبت به نفیان اصلاح نشده می شود. به طوری که دمای انتقال شیشه ای برای غشای کامپوزیتی نفیان-SiO₂ با مقدار دوپه شدن ۵ درصد وزنی (NS.2) ۱۰۹°C و برای غشای کامپوزیتی نفیان - SiO₂ با مقدار دوپه شدن ۱۰ درصد (4)، NS.4 به دست آمده است که به ترتیب ۱۲ و ۲۰°C بیشتر از مقدار آن برای نفیان خالص است.

از نظر کیفی، ناحیه انتقال شیشه ای را می توان به عنوان آغاز گستردگی حرکت های مولکولی جهت یافته تفسیر کرد. در دمای انتقال شیشه ای، حرکت قطعه ای زنجیرهای پلیمر شروع می شود. عوامل مختلفی روی پلیمرها اثر دارند که از آن جمله می توان به بلورینگی ماتریس T_g پلیمری، وزن مولکولی، فشار، سرعت فرایند اندازه گیری و همچنین نیروهای فیزیکی شامل پیوند هیدروژنی، نیروهای دوقطبی، نیروهای واندروالسی و نیروهای یونی اشاره کرد که روی حرکت های قطعه ای

جدول ۴- دمای انتقال شیشه ای برای نمونه های بررسی شده.

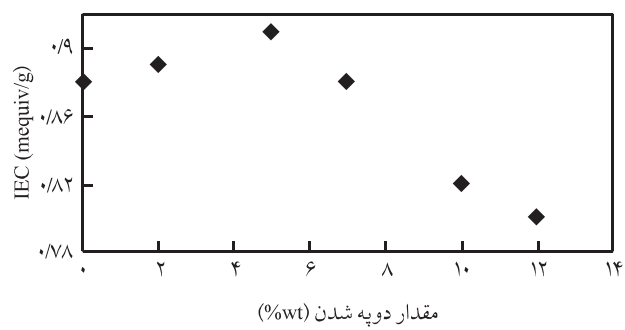
کد نمونه	مقدار دوپه شدن (%wt)	دمای انتقال شیشه ای، °C	T _g
PN	-	97	
NS.2	5	109	
SN.4	10	117	

واحد g/mequiv بیان می شود. در شکل ۴ تغییرات ظرفیت تبادل پروتونی برای غشاهای نفیان-SiO₂ با درصد دوپه شده مختلف گزارش شده است. اطلاعات نمودارها حاکی از آن است که روند تغییرات ظرفیت تبادل پروتونی برای غشاهای مشابه رفتار آنها در جذب آب است. با این تفاوت که مقادیر بیشینه برای ظرفیت تبادل پروتونی در مقایسه با مقادیر آن برای جذب آب، در اعداد کمتری اتفاق می افتد. افزایش ظرفیت تبادل پروتونی در غشا به دلیل دارا بودن خاصیت اسیدی ذرات دوپه شده انجام می گیرد [۲۰]. همچنین، ذرات دوپه شده در غشامی تواند تعداد گروه های سولفورونیک اسید جذب شده در مرحله عمل آوری را افزایش داده و با افزایش خاصیت اسیدی غشا باعث افزایش ظرفیت تبادل پروتونی شود. کاهش مقدار ظرفیت تبادل پروتونی با افزایش بیشتر درصد دوپه شدن می تواند در اثر پوشش مواضع اسیدی به وسیله ذرات با اندازه بزرگ تر و عدم امکان شرکت این گروه ها در مبادله پروتون انجام گیرد.

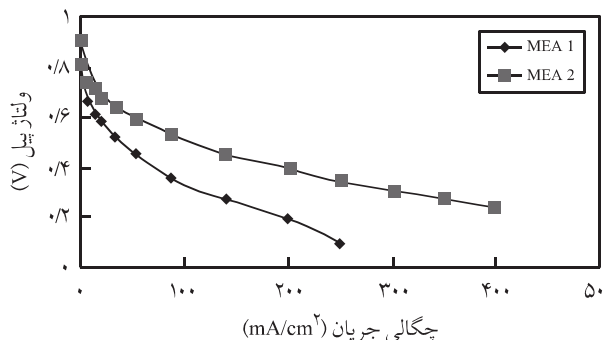
گرماسنجدی پوششی تقاضلی (DSC)

یکی از مهم ترین مشخصه های غشای نفیان که برای کاربرد در دماهای بالا باید بهبود یابد، دمای انتقال شیشه ای غشاست. در بیش از دمای انتقال شیشه ای، غشا استحکام مکانیکی خود را به دلیل نرم شدن از دست می دهد و قابلیت تحمل تنش های وارد شده از طرف سخت افزار پیل را نخواهد داشت. از سوی دیگر، در دماهای بالاتر از دمای انتقال شیشه ای، پدیده جمع شدگی در غشารخ می دهد که باعث کاهش شدید در عملکرد پیل می شود.

در شکل ۵- نتایج تعیین دمای انتقال شیشه ای برای نمونه های PN (涅فیان اصلاح نشده)، NS.2 (غشای کامپوزیتی نفیان-SiO₂ با مقدار دوپه شدن ۵ درصد) و NS.4 (غشای کامپوزیتی نفیان-SiO₂ با مقدار دوپه شدن ۱۰ درصد) نشان داده شده است. محدوده دمای انتقال شیشه ای به وسیله دستگاه محاسبه شده و در اختیار قرار می گیرد و



شکل ۶- نمودار تغییرات ظرفیت تبادل پروتونی غشاهای نفیان - SiO₂ با درصد دوپه شدن مختلف.



شکل ۷- منحنی قطبش MEA‌های ساخته شده در دمای 110°C و فشار 0.15 atm

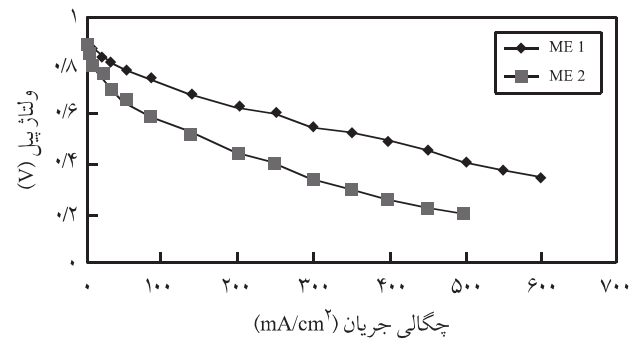
نمودار مربوط به کارایی MEA‌ها در شرایط دمایی 110°C نشان داده شده است. افزایش دما باعث کاهش شدید رطوبت می‌شود و در نتیجه کارکرد غشای نفیان که برای رسانش، نیاز مبرم به رطوبت دارد، به شدت کاهش یافته و جریان اندکی از پیل حاصل می‌شود. افزون بر این، با گذشت زمان نسبتاً کمی از کارکرد پیل، امکان گرفتن جریان بیشتر از MEA.1 وجود ندارد. چراکه با توجه به بالاتر بودن دمای کارایی پیل از دمای شیشه‌ای شدن نفیان خالص، احتمالاً به دلیل نرم شدن و جمع شدگی غشا یا حتی پارگی آن، کارایی غشا مختلف می‌شود.

نتیجه‌گیری

در این پژوهش، غشای کامپوزیتی نفیان با اکسید فلز SiO_2 از روش سل-ژل با درصد های مختلف از SiO_2 تهیه شده است. نتایج طراحی آزمایش نشان می‌دهد، متورم سازی غشا پیش از واکنش سل-ژل و دمای واکنش بیشترین اثر را بر ماندگاری ذرات دوپه شده دارد. نتایج تعیین مشخصات حاکی از آن است، افزودن ذرات SiO_2 باعث افزایش جذب آب و ظرفیت تبادل یونی نمونه‌های غشا می‌شود. هم‌چنین، ذرات سیلیکا با محدود کردن حرکات زنجیر، باعث افزایش دمای انتقال شیشه‌ای غشا می‌شوند. از نظر کارایی در مجموعه پیل سوختی، این نتیجه به دست می‌آید که افزودن ذرات SiO_2 در دمای‌های بالاتر بسیار مفید است. به طوری که در دمای 110°C و در چگالی جریان 200 mA/cm^2 بهبود کارایی دو برابر در ولتاژ پیل مشاهده می‌شود.

قدرتانی

از سازمان ارزی‌های نو ایران به دلیل حمایت مالی از این پژوهش تشکر و قدردانی به عمل می‌آید.



شکل ۶- منحنی قطبش MEA‌های ساخته شده در دمای 70°C و فشار 0.15 atm

زنجیرهای پلیمر اثر می‌گذارند.

سه نظریه عمده برای مشاهده پدیده انتقال شیشه‌ای در پلیمرها وجود دارد که عبارت است از:

- نظریه حجم آزاد،
- نظریه سیتیکی و
- نظریه ترمودینامیکی [21].

دلیل افزایش دمای انتقال شیشه‌ای غشاهای کامپوزیتی را می‌توان به وسیله نظریه حجم آزاد بیان کرد. با ورود ذرات معدنی به شبکه پلیمری نفیان حجم‌های آزاد برای حرکت قطعه‌ای در زنجیر اصلی نفیان کاهش می‌یابد. در نتیجه، باعث محدود شدن حرکت‌های قطعه‌ای و در پی آن بالا رفتن دمای انتقال شیشه‌ای می‌شود. افزون بر این، در بخش شاخه‌های جانبی پلیمر و خوش‌های اسیدی آویزان به زنجیر اصلی، برقراری پیوندهای متوسط یونی بین SiOH و گروه‌های اسید سولفورونیک، باعث افزایش بلورینگی ماتریس پلیمری و در نتیجه افزایش دمای انتقال شیشه‌ای می‌شود.

کارایی پیل

در شکل ۶، منحنی قطبش مجموعه‌های الکترود - غشای مربوط به نمونه‌های غشاهای مورد بررسی نشان داده شده است. این منحنی در دمای 70°C و فشار 0.15 atm به دست آمده است. در شرایط دمایی 70°C غشای نفیان اصلاح نشده (MEA.1) کارایی مطلوب تری نسبت به نمونه اصلاح شده با $7 \text{ Drصد وزنی از } \text{SiO}_2$ (MEA.2) نشان می‌دهد. به طوری که هر جریان مشخص منجر به ولتاژ زیادتر در پیل می‌شود. با توجه به این که از نظر دمایی، دمای 70°C به اندازه‌ای نیست که مشکلات مرطوب‌سازی و کاهش رطوبت در غشا نمود پیدا کند، بنابراین کارایی مطلوب تر غشای اصلاح نشده نفیان در این شرایط دمایی نسبت به نمونه اصلاح شده، منطقی به نظر می‌رسد. در شکل ۷،

مراجع

1. Xianguo L., *Principles of Fuel Cells*, Taylor and Francis, 2006.
2. O'Hayre R., *Fuel Cell Fundamentals*, John Wiley and Sons, 2005.
3. Larminie J. and Dicks A., *Fuel Cell Systems Explained*, John Wiley and Sons, 2000.
4. Barbir F. and Fomez T., Efficiency and Economics of Proton Exchange Membrane (PEM) Fuel Cells, *Int. J. Hydrogen Energy*, **21**, 891-901, 1996.
5. Jianlu Z., Zhong X., Jiujun Z., Yanghua T., and Chaojie S., High Temperature PEM Fuel Cell, *J. Power Sourc.*, **160**, 872-891, 2006.
6. Yang C. and Costamagna B., Approaches and Technical Challenges to High Temperature Operation of Proton Exchange Membrane Fuel Cells, *J. Power Sourc.*, **103**, 1-9, 2001.
7. Neburchilov V., Martin J., and Wang H., A Review of Polymer Electrolyte Membranes for Direct Methanol Fuel Cells, *J. Power Sourc.*, **169**, 221-238, 2007.
8. Zhang J. and Tang Y., PEM Fuel Cells Operated at 0% Relative Humidity in the Temperature Range of 23-120°C, *Electrochimica Acta*, **52**, 5095-5101, 2007.
9. Mauritz A., Organic-inorganic Hybrid Materials: Perfluorinated Ionomers as Sol-gel Polymerization Templates for Inorganic Alkoxides, *Mater. Sci. Eng.*, **27**, 121-133, 1998.
10. Renaud S. and Ameduri B., Functional Fluoropolymers for Fuel Cell Membranes, *Prog. Polym. Sci.*, **30**, 644-687, 2005.
11. Shao X., Yin G., Wang Z., and Gao Y., Proton Exchange Membrane Fuel Cell from Low Temperature to High Temperature: Material Challenges, *J. Power Source.*, **167**, 235-242, 2007.
12. Shao P.L. and Mauritz K., Perfluorosulfonate Ionomer/ SiO_2 - TiO_2 Nanocomposite via Polymer-In Situ Sol-Gel Chemistry: Sequential Alkoxide Procedure, *J. Polym. Sci., Part B: Polym. Phys.*, **34**, 873-882, 1996.
13. Klein L.C. and Daiko Y., Methods for Modifying Proton Exchange Membranes Using the Sol-Gel Process, *Polymer*, **46**, 4504-4509, 2005.
14. Jalani N.H., Dunn K., and Datta R., Synthesis and Characterization of Nafion-MO₂ (M = Zr, Si, Ti) Nanocomposite Membranes for Higher Temperature PEM Fuel Cells, *Electrochimica Acta*, **51**, 553-560, 2005.
15. Amirinejad M., Rowshanzamir S., and Eikani M.H., Effects of Operating Parameters on Performance of a Proton Exchange Membrane Fuel Cell, *J. Power Sourc.*, **161**, 272-275, 2006.
16. Mistry M.K., Choudhury N.R., Dutta N.K., Knott R., Shi Z., and Holdcroft S., Novel Organic-inorganic Hybrids with Increased Water Retention for Elevated Temperature Proton Exchange Membrane Application, *Chem. Mater.*, **20**, 6857-6870, 2008.
17. Zhang T., Bocarsly A., and Greenbaum S., NMR Investigation of Water and Methanol Mobility in Nanocomposite Fuel Cell Membranes, *Ionics*, **14**, 243-248, 2008.
18. Shao Z.G., Joghee P., and Hsing I., Preparation and Characterization of Hybrid Nafion-silica Membrane Doped with Phosphotungstic Acid for High Temperature Operation of Proton Exchange Membrane Fuel Cells, *J. Membr. Sci.*, **229**, 43-51, 2004.
19. Tang H.L. and Pan M., Synthesis and Characterization of a Self-Assembled Nafion/Silica Nanocomposite Membrane for Polymer Electrolyte Membrane Fuel Cells, *J. Phys. Chem.*, **112**, 11556-11568, 2008.
20. Gnana G., Kim A.R., Nahm K.S., and Elizabeth R., Nafion Membranes Modified with Silica Sulfuric Acid for the Elevated Temperature and Lower Humidity Operation of PEMFC, *Int. J. Hydrogen Energy*, **34**, 9788-9794, 2009.
21. Peighambarioust S.J. and Pourabbas B., Preparation and Characterization of Nylon/PPy/MMT Composite of Nanocomposite, *J. Appl. Polym. Sci.*, **106**, 697-705, 2007.